

# МОДЕЛЬ КВАНТОВЫХ УГРОЗ БЕЗОПАСНОСТИ ИНФОРМАЦИИ ДЛЯ НАЦИОНАЛЬНЫХ БЛОКЧЕЙН-ЭКОСИСТЕМ И ПЛАТФОРМ

Петренко С. А.<sup>1</sup>, Балябин А. А.<sup>2</sup>

DOI: 10.21681/2311-3456-2025-1-7-17

**Цель исследования:** разработка математической модели квантовых угроз безопасности информации на основе сетей Петри для национальных блокчейн-экосистем и платформ «Экономики данных» Российской Федерации.

**Методы исследования:** методы системного анализа, методы теории сетей Петри, методы теории вероятностей и математической статистики, методы теории устойчивости сложных систем.

**Полученные результаты:** модель ранее неизвестных квантовых угроз безопасности информации на основе сетей Петри для национальных блокчейн-экосистем и платформ «Экономики данных» Российской Федерации.

**Научная новизна:** представлена и обоснована математическая модель квантовых угроз безопасности на основе сетей Петри, которая позволила задать метрику и меру обеспечения киберустойчивости для типовой блокчейн-системы в условиях новых кибератак злоумышленников с применением квантового компьютера.

**Ключевые слова:** угрозы безопасности информации, квантовые угрозы безопасности, блокчейн-экосистемы и платформы, кибербезопасность, киберустойчивость, методы анализа и синтеза квантово-устойчивого блокчейн.

## Введение

В настоящее время наблюдается беспрецедентный рост угроз безопасности информации в отношении объектов критической информационной инфраструктуры Российской Федерации, в том числе национальных блокчейн-экосистем и платформ [1, 2].

Общее количество инцидентов информационной безопасности (ИБ) возросло на 64% по отношению к аналогичному показателю предыдущего года (см. рис. 1) [3].

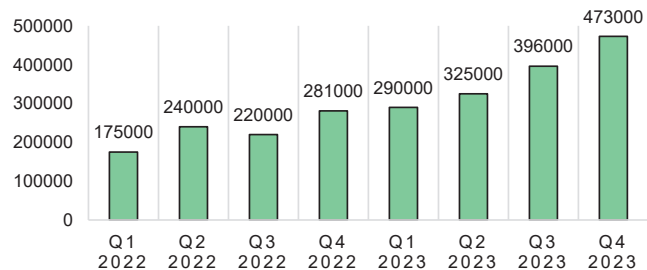


Рис. 1. События ИБ по кварталам в 2022-2023 гг.

Сегодня технологии блокчейн нашли различное применение в области криптовалют [4], смарт-контрактов [5], интернета вещей (IoT) [6], систем электронного голосования [7] и др. Криптографические преобразования, лежащие в основе технологии блокчейн, обеспечивают один из фундаментальных

принципов информационной безопасности – неотказуемость, – а распределенная децентрализованная архитектура позволяет всем участникам сети верифицировать хранящиеся в ней записи без необходимости в едином «удостоверяющем центре» [8]. Несмотря на это, наблюдается рост количества инцидентов, связанных с атаками на блокчейн-платформы. Так в результате атаки на криптобиржу MtGox злоумышленниками было похищено более 450 млн долларов США [9], а всего суммарно было похищено с различных криптобирж порядка 2 млрд долларов США [10]. При этом большинство атак злоумышленников на блокчейн экосистемы и платформы осуществляется с применением классических СуперЭВМ архитектуры фон Неймана. Однако в 2023-2024 гг. были впервые зафиксированы атаки злоумышленников с применением квантового компьютера [11].

Криптостойкость алгоритмов цифровой подписи и хэширования, лежащих в основе технологии блокчейн, обеспечивается сложностью задач разложения большого числа на простые множители и дискретного логарифмирования. Однако применение квантовых алгоритмов, таких как алгоритм Шора, позволяет экспоненциально сократить время решения данных задач. Это представляет собой новую угрозу для блокчейн-платформ, для противодействия которой требуется внедрение квантово-устойчивых криптографических преобразований [12].

- 1 Петренко Сергей Анатольевич, доктор технических наук, профессор, руководитель группы, Научный центр информационных технологий и искусственного интеллекта, Научно-технологический университет «Сириус», Федеральная территория «Сириус», Россия. Orcid.org/0000-0003-0644-1731. E-mail: Petrenko.SA@talantiuspeh.ru
- 2 Балябин Артём Алексеевич, младший научный сотрудник, Научный центр информационных технологий и искусственного интеллекта, Научно-технологический университет «Сириус», Федеральная территория «Сириус», Россия. E-mail: Balyabin.AA@talantiuspeh.ru

В целом рост количества и сложности кибератак на блокчейн экосистемы и платформы является общемировой тенденцией. Существующие платформы блокчейн уже не обладают требуемой киберустойчивостью в условиях роста угроз безопасности, в том числе квантовых, а применяемых классических методов и средств защиты зачастую недостаточно для предотвращения катастрофических последствий кибератак.

**Особенности структуры и поведения блокчейн-экосистем и платформ**

Функционирование типовой блокчейн-системы можно поэтапно представить следующим образом:

- 1) создание транзакции;
- 2) верификация и валидация транзакции;
- 3) формирование блока транзакций;
- 4) подтверждение блока транзакций по алгоритму консенсуса;
- 5) добавление блока в распределенный реестр.

Транзакции в блокчейн объединяются в блоки, как показано на рис. 2. Каждый блок состоит из заголовка и основной части, в которой содержатся записи обо всех входящих в этот блок транзакциях. Каждый вновь создаваемый блок транзакций хранит в себе хэш предыдущего блока так, что цепочку блоков транзакций возможно восстановить вплоть до первого блока в системе, называемого генезис-блоком.

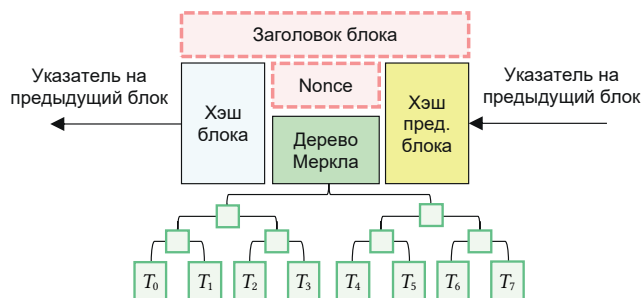


Рис. 2. Представление блокчейн в виде цепочки блоков

При формировании блока транзакций в блокчейн используется один из алгоритмов консенсуса. Наиболее распространенными алгоритмами консенсуса являются [13]:

- Proof of Work (PoW);
- Proof of Stake (PoS);
- Delegated Proof of Stake (DPoS).

Типовая блокчейн-система представляет собой распределенный реестр, между узлами которого осуществляется сетевое взаимодействие, поэтому в ее архитектуре возможно выделить уровни, аналогичные уровням сетевой модели OSI, включающие сверху вниз: уровень приложений, уровень сервисов, уровень протоколов, уровень сети и уровень инфраструктуры [14]. Укрупненная архитектура типовой блокчейн-системы представлена на рис. 3.

Таким образом, к особенностям национальных блокчейн-экосистем и платформ можно отнести:

- высокая сложность структуры и поведения;
- преимущественно вычислительный характер обработки данных;
- беспрецедентный рост угроз безопасности информации;
- высокие требования к безопасности и киберустойчивости и др.

Данные особенности необходимо учитывать при разработке модели квантовых угроз безопасности информации для национальных блокчейн-экосистем и платформ.

**Предлагаемый способ решения задачи**

Состояния типовой блокчейн-системы предлагается моделировать с помощью математического аппарата сетей Петри [15]:

$$N = (P, T, F, M_0), \tag{1}$$

где  $P = \{p_1, \dots, p_i, \dots, p_n\}$  – конечное множество позиций,  $n > 0$ ;  $T = \{t_1, \dots, t_j, \dots, t_m\}$  – конечное множество переходов,

<b>Уровень приложений</b>	dApp Browsers	Decentralized Applications	Application Hosting	Programming Languages
<b>Сервисы и решения</b>	Multi signatures	Data Feeds	Off-chain Computing	Governance, DAOs
	Oracles	Wallets	Digital Assets	Smart Contracts
<b>Уровень протоколов</b>	Consensus Algorithms	Side Chains	Permissioned and Permissionless	EVMs
<b>Уровень сети</b>	RPLx	Roll Your Own	Block Delivery Networks	Trusted Execution Environment
<b>Уровень инфраструктуры</b>	Mining	Network	Virtualization	Nodes
				Tokens
				Storage

Рис. 3. Укрупненная архитектура типовой блокчейн-системы

$m > 0, P \cap T = \emptyset; F$  - функция инцидентности,  $F \subseteq (P \times T) \cup (T \times P); M_0$  - первоначальная маркировка,  $M_0 : P \rightarrow \{1,2,3,\dots\}$ .

При этом следует отметить, что одними из самых серьезных угроз являются угрозы эксплуатации ранее неизвестных уязвимостей «нулевого дня» (0-day) и НДВ. Как известно, такие уязвимости возникают вследствие наличия программных ошибок, меняющих поведение программы. Схема жизненного цикла уязвимости «нулевого дня» приведена на рис. 4.

В случае с блокчейн-платформами, к новым, ранее неизвестным уязвимостям могут быть отнесены архитектурные уязвимости алгоритмов, связанные с недостаточной их стойкостью в условиях воздействия с применением квантовых вычислений.

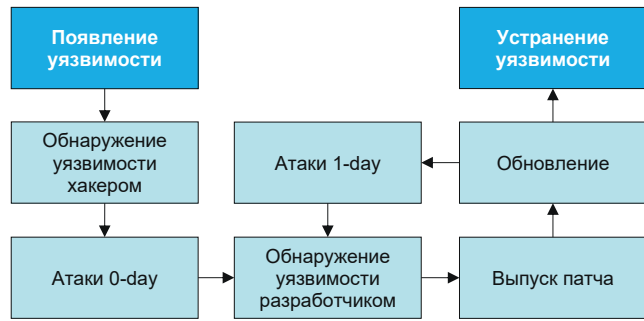


Рис. 4. Схема жизненного цикла уязвимости «нулевого дня»

Функционирование системы блокчейн опирается на допущения о ничтожно малой вероятности коллизии хэш-функций и невозможности подбора требуемого

Таблица 1.

Квантовые преобразователи

Наименование преобразователя	Обозначение	Матричное представление
<b>Однокубитные вентили</b>		
Вентиль Паули X	$X$	$\begin{pmatrix} 0 & 1 \\ 1 & 0 \end{pmatrix}$
Вентиль Паули Y	$Y$	$\begin{pmatrix} 0 & -i \\ i & 0 \end{pmatrix}$
Вентиль Паули Z	$Z$	$\begin{pmatrix} 1 & 0 \\ 0 & -i \end{pmatrix}$
Вентиль Адамара	$H$	$\frac{1}{\sqrt{2}} \begin{pmatrix} 1 & 1 \\ 1 & -1 \end{pmatrix}$
Фазовый сдвиг $\pi/4$	$S$	$\begin{pmatrix} 1 & 0 \\ 0 & i \end{pmatrix}$
Фазовый сдвиг $\pi/8$	$T$	$\begin{pmatrix} 1 & 0 \\ 0 & e^{i\pi/4} \end{pmatrix}$
Вентиль CNOT	$CNOT$	$\begin{pmatrix} 1 & 0 & 0 & 0 \\ 0 & 1 & 0 & 0 \\ 0 & 0 & 0 & 1 \\ 0 & 0 & 1 & 0 \end{pmatrix}$
<b>Многокубитные вентили</b>		
Вентиль Controlled-Z	$CZ$	$\begin{pmatrix} 1 & 0 & 0 & 0 \\ 0 & 1 & 0 & 0 \\ 0 & 0 & 1 & 0 \\ 0 & 0 & 0 & -1 \end{pmatrix}$
Вентиль SWAP	$SWAP$	$\begin{pmatrix} 1 & 0 & 0 & 0 \\ 0 & 0 & 1 & 0 \\ 0 & 1 & 0 & 0 \\ 0 & 0 & 0 & 1 \end{pmatrix}$

значения односторонней функции за разумное время [16, 17].

Однако данные допущения справедливы лишь для фон Неймановских компьютерных систем, одновременно обрабатывающих лишь одно состояние. Квантовые же компьютеры оперируют состояниями кубитов  $|\psi\rangle$  на комплексной плоскости, при этом состояния кубитов  $|0\rangle$  и  $|1\rangle$  соответствуют значениям бит 0 и 1. Так квантовый компьютер, состоящий из  $N$  кубитов, способен оперировать  $2^N$  квантовыми состояниями одновременно.

Для выполнения практических вычислений на квантовом компьютере к кубитам применяется ряд линейных преобразований, которые в широком смысле соответствуют решениям уравнения Шредингера. В табл. 1 представлены основные квантовые преобразователи, их обозначения и представление в матричной форме.

В квантовых вычислениях также применяются некоторые известные алгоритмы, которые позволяют значительно сократить время решения вычислительно-сложных криптографических задач.

Квантовый алгоритм Дойча-Йожи используется для определения того, к какому типу относится функция  $f: \{0,1\}^n \rightarrow \{0,1\}$  – постоянному или сбалансированному [18]. Известно, что сбалансированная булева функция на всей области определения возвращает значения 0 и 1 одинаковое количество раз. Для вычислений в алгоритме применяется квантовый оракул  $U_f: |x, y\rangle \rightarrow |x, y \oplus f(x)\rangle$ . Последовательность шагов вычисления выглядит следующим образом:

- 1) начальное состояние с  $n + 1$  кубитами:  $|\psi_0\rangle = |0\rangle^{\otimes n} \otimes |1\rangle$ ;
- 2) преобразование Адамара над  $n$  входными кубитами приводит их в состояние суперпозиции:

$$|\psi_1\rangle = \frac{1}{\sqrt{2}} \sum_{x=0}^{2^n-1} |x\rangle \oplus |1\rangle;$$

- 3) применение квантового оракула  $U_f$  и получение результата:

$$|\psi_2\rangle = \frac{1}{\sqrt{2^n}} \sum_{x=0}^{2^n-1} (-1)^{f(x)} |x\rangle \oplus |1\rangle;$$

- 4) повторное преобразование Адамара над  $n$  входными кубитами и измерение состояния кубитов.

Если при измерении все значения кубитов оказались равными 0, то функция  $f(x)$  является постоянной, иначе – сбалансированной.

Квантовый алгоритм Шора применяется при решении задачи разложения целого числа  $N$  на простые сомножители  $p$  и  $q$  так, что  $N = p \times q$ . Последовательность шагов вычисления выглядит следующим образом:

- 1) к  $n$  входными кубитам в начальном состоянии  $|\psi\rangle = \frac{1}{\sqrt{N}} \sum_{x=0}^{N-1} |x\rangle$  применяется квантовое преобразование Фурье;

- 2) поиск периода  $r$  функции  $f(x) = a^x \bmod N$ , где  $a$  – случайно выбранное число, взаимно простое с  $N$ .

Квантовый алгоритм Шора способен решать задачу вычисления дискретного логарифма за полиномиальное время, в частности, временная сложность факторизации числа  $N$  оценивается как  $O(\log^2 N \log \log N \log \log \log N)$  [19].

Квантовый алгоритм Гровера применяется для решения задачи поиска элемента в неупорядоченном множестве. Математически это можно записать в виде функции  $f: \{0,1\}^n \rightarrow \{0,1\}$ , при этом алгоритм Гровера решает задачу поиска  $x$ , такого, что  $f(x) = 1$  [20]. Последовательность шагов вычисления выглядит следующим образом:

- 1) начальное состояние с  $n$  кубитами:  $|\psi_0\rangle = \frac{1}{\sqrt{N}} \sum_{x=0}^{N-1} |x\rangle$ ;
- 2) применение квантового оракула  $U_f$  для поиска состояний, удовлетворяющих условию  $f(x) = 1$ ;
- 3) применение оператора диффузии Гровера  $D$ , переход к шагу 2;
- 4) измерение состояния кубитов и определение значения  $x$ .

Временная сложность решения задачи на множестве мощности  $N$  оценивается как  $O(\sqrt{N})$ , что означает возможность решения на квантовом компьютере NP-полной задачи с квадратичным приростом скорости по сравнению с решением аналогичной задачи на компьютере с фон Неймановской архитектурой.

Применение квантовых алгоритмов позволяет значительно ускорить решение ряда вычислительно-сложных задач, что приводит к возникновению отдельного класса уязвимостей архитектурного характера, эксплуатация которых представляет угрозу для блокчейн-экосистем и платформ КИИ РФ. Для наглядности в табл. 2 и 3 приведено сравнение вычислительной сложности некоторых алгоритмов решения задач факторизации числа, состоящего из  $N = \log_2 n$  символов, где  $n$  – количество двоичных разрядов числа, и дискретного логарифмирования.

Таблица 2.

Временная сложность решения задачи факторизации

Наименование алгоритма	Оценка временной сложности
Алгоритм Ферма	$O(N^{\frac{1}{3}})$
Алгоритм квадратичного решета	$O(e^{(1+o(1)) \sqrt{\log n \log \log n}})$
Алгоритм решета числового поля	$O(n \log n \log N)$
Алгоритм Шора	$O(\log^3 N)$

Таблица 3.  
Временная сложность решения задачи дискретного логарифмирования

Наименование алгоритма	Оценка временной сложности
Алгоритм Адлемана	$O\left(e^{\ln p^{\frac{1}{2}}}\right)$
Алгоритм COS	$O\left(e^{(\log p \log \log p)^{\frac{1}{2}}}\right)$
Алгоритм решета числового поля	$O(n \log n \log N)$
Алгоритм Шора	$O(\log^3 N)$

**Формирование перечня актуальных угроз безопасности**

Стратифицированное представление блокчейн-платформ по уровням возникновения уязвимостей, эксплуатируемых в ходе осуществления атак, представлено на рис. 5.

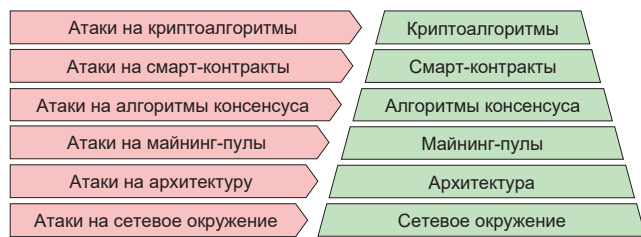


Рис. 5. Стратификация блокчейн-платформ по уровням возникновения эксплуатируемых уязвимости

**Уязвимости криптографических алгоритмов.** Большинство современных блокчейн-платформ (Bitcoin, Ethereum, Litecoin, Dash, Ripple, Cardano и др.) используют для генерации ключевой пары алгоритм цифровой подписи на основе эллиптических кривых (ECDSA). Криптостойкость таких алгоритмов основана на допущении о сложности вычисления дискретного логарифма на эллиптической кривой, то есть решения уравнения вида:

$$S = nT(\text{mod } m) \tag{2}$$

относительно  $n$ , где  $S, T$  – известные точки на эллиптической кривой, соответствующие зашифрованному и начальному сообщениям. Временная сложность дискретного логарифмирования на эллиптической кривой с помощью  $\rho$ -алгоритма Полларда составляет  $O(\sqrt{n})$ , где  $n$  – длина ключа в битах, в то время как применение квантового алгоритма Шора позволяет свести ее к  $O(\log^3 n)$ . Это может позволить злоумышленнику, имеющему квантовый вычислитель и открытый ключ, отыскать соответствующий ему закрытый ключ из ключевой пары и осуществить атаку подмены личности [21].

Другим примером уязвимостей криптографических алгоритмов является недостаточная криптостойкость применяемых в блокчейн-платформах хэш-функций (SHA256, Ethash, SCrypt, Equihash, X11 и др.) к атаке нахождения коллизии с помощью квантового алгоритма Гровера. В этом случае злоумышленник может сгенерировать вредоносный блок, обладающий такой же хэш-суммой, как и изначальный, и осуществить атаку 51 %, двойного расходования и эгоистичного майнинга [22].

**Уязвимости смарт-контрактов.** Смарт-контракты, используемые в таких блокчейн-платформах, как Ethereum, считаются одним из самых уязвимых элементов блокчейн [5, 23]. К причинам возникновения уязвимостей данного уровня относятся недостатки, связанные с зависимостью временных меток, порядком следования транзакций, реентерантностью и необработанными исключениями, что может позволить злоумышленнику осуществить атаку повторного воспроизведения смарт-контракта.

**Уязвимости алгоритмов консенсуса.** Алгоритмы консенсуса (PoW, PoS, DPOS и др.) являются одними из центральных элементов блокчейн-платформ и выполняют функции верификации блоков. В зависимости от конкретных типов алгоритмов консенсуса возможны реализации таких атак, как атака 51 %, Финни и атака двойного расходования [13, 24].

**Уязвимости майнинг-пулов.** Вычислительная сложность майнинга в современных блокчейн-платформах (Bitcoin, Ethereum и др.) может быть достаточно высока, что заставляет узлы объединять вычислительные мощности в пулы. С другой стороны, это представляет опасность для блокчейн-экосистемы, поскольку вычислительная мощность одного пула может превысить вычислительную мощность остальной сети блокчейн, что позволит злоумышленнику, имеющему возможность управления пулом, осуществить такие атаки, как атака 51 %, двойного расходования и удержания блока [25].

**Уязвимости архитектуры.** К архитектурным недостаткам блокчейн-систем можно отнести недостатки, связанные с некорректной идентификацией узлов, перезапуском системы, отсутствием ограничений размеров блока [26]. Используя эти недостатки, злоумышленник может осуществить атаки, такие как атака информационного затмения и DDoS-атака.

**Уязвимости сетевого окружения.** Поскольку блокчейн-платформа представляет собой одноранговую сеть взаимосвязанных узлов, распространение информации по которой осуществляется с некоторой задержкой, то она может быть уязвима для таких атак, как атака Сивиллы, двойного расходования и DNS-атака [26].

Учитывая рассмотренные уязвимости, сформируем перечень актуальных угроз устойчивости блокчейн-экосистем и платформ КИИ РФ, как показано

Таблица 4.

Перечень актуальных угроз устойчивости блокчейн-экосистем и платформ КИИ РФ

Уязвимости по уровням возникновения Атаки	Криптоалгоритмы	Смарт-контракты	Алгоритмы консенсуса	Майнинг-пулы	Архитектура	Сетевое окружение
Атака 51%	+	-	+	+	-	-
Атака подмены личности	+	-	-	-	-	-
Атака Сивиллы	-	-	-	-	-	+
Атака информационного затмения	-	-	-	-	+	+
Атака эгоистичного майнинга	+	-	+	+	-	-
Атака двойного расходования	+	-	+	+	-	-
Атака Финни	+	-	+	-	-	-
DDoS-атака	-	-	-	-	+	+
DNS-атака	-	-	-	-	-	+
Атака BGP-hijacking	-	-	-	-	+	+
Атака удержания блока	+	-	-	+	-	-
Атака на баланс	+	-	+	+	-	+
Атака повторного воспроизведения	-	+	-	-	+	-

в табл. 4. Символы «+» и «-» означают, что данная уязвимость соответственно может или не может эксплуатироваться при атаке на определенный уровень блокчейн-платформы.

Отметим, что большинство кибератак осуществляется с территорий иностранных государств, что подразумевает наличие удаленного доступа к объектам критической информационной инфраструктуры (КИИ) РФ и сетевой вектор воздействия. Значимую угрозу представляют нарушители, обладающие высоким потенциалом, в распоряжении которых имеются достаточные ресурсы для подготовки и осуществления кибератак с использованием средств эксплуатации известных и ранее неизвестных уязвимостей блокчейн-экосистем и платформ:

- специальные службы иностранных государств;
- террористические и экстремистские организации;
- организованные хакерские группировки.

#### Моделирование кибератак злоумышленников на блокчейн-экосистемы

Типовая схема компьютерной атаки в соответствии с MITRE ATT&CK имеет 14 этапов (тактик) и более 400 техник [27], однако, в реальных кибератаках могут задействоваться не все этапы. На рис. 6 представлена схема типового целенаправленного

ИТВ на блокчейн-платформу КИИ РФ, состоящего из 5 этапов, характерных для подавляющего большинства целенаправленных ИТВ.

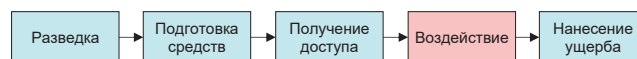


Рис. 6. Обобщенная схема ИТВ на типовую блокчейн-платформу КИИ РФ

Рассмотрим подробнее этап непосредственного воздействия на целевую систему, а также примеры кибератак злоумышленников на типовые блокчейн-платформы.

**Атака 51 %.** Данная атака характерна для блокчейн-платформ, использующих алгоритмы консенсуса типа PoW, PoS, DPoS, и предполагает наличие у злоумышленника 51 % или более вычислительной мощности блокчейн-платформы. Такое превосходство достижимо несколькими способами:

- увеличение количества вычислителей в пуле;
- применение квантового алгоритма Гровера.

Применение злоумышленником квантового алгоритма Гровера для поиска коллизий хэш-функций может позволить ему значительно быстрее подбирать значение параметра *Nonce* создаваемого блока и формировать произвольные вредоносные блоки

с требуемыми хэш-суммами. Сформируем модель данной атаки на основе сети Петри.

- Предусловия (условия осуществимости атаки):
  - $P_1$  – злоумышленник обладает 51 % или более вычислительной мощности сети блокчейн:
    - $P_{11}$  – для алгоритмов консенсуса типа PoW:
      - $P_{111}$  – злоумышленник контролирует более 50 % вычислительной мощности блокчейн-платформы;
      - $P_{112}$  – злоумышленник обладает вычислительными ресурсами квантового компьютера;
    - $P_{12}$  – злоумышленник обладает более 50 % долей владения для алгоритмов консенсуса типа PoS;
    - $P_{13}$  – злоумышленник обладает более 50 % прав голоса для алгоритмов консенсуса типа DPoS;
  - $P_2$  – злоумышленник знает хэш-сумму предыдущего блока;
- Переходы (шаги осуществления атаки):
  - $T_1$  – синтез вредоносного блока с требуемой хэш-суммой без передачи его в блокчейн;
  - $T_2$  – синтез вредоносной цепочки блоков, более длинной, чем существующая;
  - $T_3$  – передача созданной вредоносной цепочки блоков в блокчейн;
- Постусловия (возможные направления развития атаки):
  - $P_3$  – блокировка транзакций;
  - $P_4$  – препятствование деятельности иных узлов блокчейн;
  - $P_5$  – обращение транзакций для подготовки атаки двойного расходования;
  - $P_6$  – принуждение узлов блокчейн-платформы к присоединению к вычислительным мощностям злоумышленника.

Полученная модель атаки 51 % на основе сети Петри представлена на рис. 7.

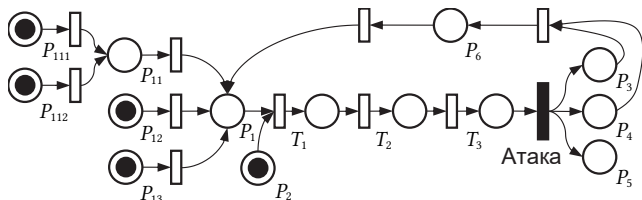


Рис. 7. Модель сети Петри для атаки 51 %

**Атака двойного расходования.** Одной из задач алгоритмов консенсуса является обеспечение невозможности дублирования транзакций (двойного расходования средств). Так, если  $B_0, \dots, B_i, \dots, B_N$  – существующая цепочка блоков и целью злоумышленника

является дублирование транзакции, содержащейся в блоке  $B_i$ , то ему придется заново сформировать блок  $B'_i$ , не содержащий данной транзакции, а также более длинную цепочку, состоящую из блоков  $B'_j$ ,  $\nu$  с соответствующими хэш-суммами, где  $n$  – длина существующей цепочки блоков. Классическими вычислительными средствами данная атака практически не реализуема, однако, злоумышленник, обладающий возможностью осуществления квантовых вычислений, может применить алгоритм Гровера для нахождения коллизий хэш-функций. Сформируем модель данной атаки на основе сети Петри.

- Предусловия (условия осуществления атаки):
  - $P_1$  – злоумышленник обладает достаточными вычислительными ресурсами:
    - $P_{11}$  – классическими;
    - $P_{12}$  – квантовыми;
  - $P_2$  – транзакция записана в блок  $B_i$  и подтверждена получателем;
- Переходы (шаги осуществления атаки):
  - $T_1$  – синтез цепочки блоков  $B'_j, j = (\overline{i, n + 1})$ , где блок  $B'_i$  не содержит предыдущей транзакции и распространение новой цепочки в блокчейн;
- Постусловия (возможные направления развития атаки):
  - $P_3$  – повторное использование средств злоумышленником.

Полученная модель атаки двойного расходования на основе сети Петри представлена на рис. 8.

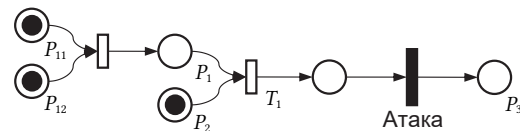


Рис. 8. Модель сети Петри для атаки двойного расходования

**Атака подмены личности.** Правом владения цифровых активов в блокчейн наделены обладатели закрытого ключа, а с помощью открытого ключа это право возможно проверить. Для данной атаки злоумышленнику необходимо восстановить закрытый ключ по известному открытому ключу одним из способов:

- кража данных о ключевой паре (например, в результате предварительного ИТВ);
- применение квантового алгоритма Шора для решения задачи дискретного логарифмирования за полиномиальное время.

Восстановив закрытый ключ, злоумышленник сможет действовать от имени его владельца. Сформируем модель данной атаки на основе сети Петри.

- Предусловия (условия осуществления атаки):
    - $P_1$  – злоумышленник обладает сведениями о параметрах эллиптической кривой для восстановления ключевой пары алгоритма ECDSA;
    - $P_2$  – злоумышленник обладает достаточными квантовыми вычислительными ресурсами для решения задачи дискретного логарифмирования;
    - $P_3$  – злоумышленник осуществил вспомогательное ИТВ и получил сведения о ключевой паре;
  - Постусловия (возможные направления развития атаки):
    - $P_4$  – злоумышленник применил квантовый алгоритм Шора, решил задачу дискретного логарифмирования и получил закрытый ключ из ключевой пары;
    - $P_5$  – выполнение операций с цифровыми активами от имени владельца закрытого ключа.
- Полученная модель атаки подмены личности на основе сети Петри представлена на рис. 9.

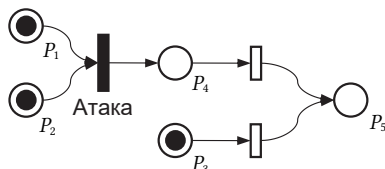


Рис. 9. Модель сети Петри для атаки подмены личности

**Оценка киберустойчивости блокчейн-систем**

Как правило, под устойчивостью некоторой технической системы понимают ее способность сохранять значения параметров своего функционирования в заданных пределах в условиях дестабилизирующих воздействий. Применительно к блокчейн-системам такими дестабилизирующими воздействиями являются кибератаки злоумышленников, в том числе с применением квантового компьютера. Проводя аналогию с динамическими системами, будем оценивать устойчивость функционирования блокчейн-системы в условиях кибератак злоумышленников по показателю вероятности  $P$  нахождения невосстанавливаемой системы в работоспособном состоянии в течение заданного времени  $t$ :

$$P(t) = e^{-\lambda t}, \tag{3}$$

где  $\lambda$  – интенсивность потока ИТВ.

Здесь мерой устойчивости является число в отрезке  $[0,1]$ , где 0 обозначает абсолютно неустойчивую, а 1 – абсолютно устойчивую системы.

Примем допущение о том, что поток нарушений является простейшим. Интенсивность потока нарушений  $\lambda$  постоянна и зависит от вероятности искажений, которая, в свою очередь, пропорциональна количеству перебираемых хэш-сумм  $N_{хэши}$  в единицу времени:

$$\lambda(t) \sim P_{иск} = const, P_{иск} = \frac{N_{хэши}}{T}. \tag{4}$$

Результаты оценки устойчивости функционирования типовой блокчейн-системы в условиях кибератак злоумышленников по показателю вероятности нахождения системы в работоспособном состоянии в зависимости от времени при различных значения  $P_{иск}$  представлены на рис. 10.

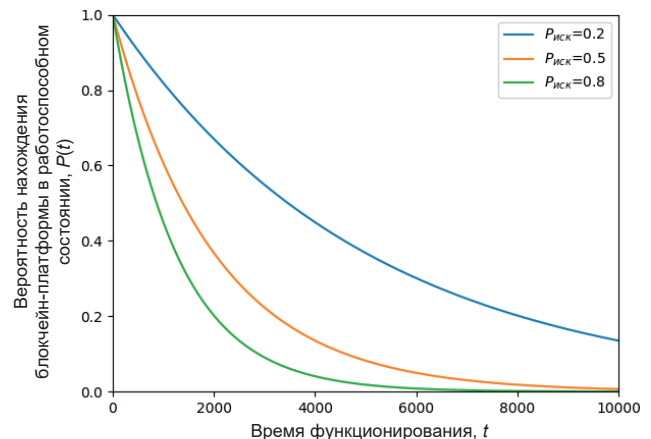


Рис. 10. Результаты оценки устойчивости функционирования типовой блокчейн-системы в условиях кибератак злоумышленников

Вероятность нахождения блокчейн-платформы КИИ РФ в работоспособном состоянии с течением времени снижается так, что  $\lim_{t \rightarrow \infty} P(t) = 0$ . При уменьшении количества хэш-сумм  $N_{хэши}$ , проверяемых в единицу времени, снижается вероятность искажения  $P_{иск}$ , а снижение устойчивости с течением времени замедляется. Полученные результаты позволяют подтвердить гипотезу о снижении киберустойчивости блокчейн-экосистем и платформ в условиях целенаправленных кибератак злоумышленников.

**Выводы**

В настоящей работе была поставлена задача разработки новой модели квантовых угроз безопасности информации на основе сетей Петри на примере некоторой типовой блокчейн-экосистемы и платформы. Приведено возможное формализованное описание источников угроз безопасности информации, сформирован перечень актуальных угроз безопасности информации. Проведено моделирование квантовых угроз безопасности, что позволило определить возможные метрику и меру обеспечения киберустойчивости блокчейн-систем в условиях кибератак злоумышленников с применением квантового компьютера.

Результаты экспериментов позволили выявить ряд количественных закономерностей снижения киберустойчивости блокчейн-экосистем и платформ «Экономики данных» РФ в условиях атак злоумышленников с применением квантового компьютера.



Статья подготовлена по результатам Проекта ФТС-2024-2.3-VY-1160-5744 «Технологии противодействия ранее неизвестным квантовым киберугрозам» в рамках реализации мероприятия 2.3 государственной программы федеральной территории «Сириус» «Научно-технологическое развитие федеральной территории «Сириус».

## Литература

1. Балябин, А. А., Петренко С. А., Костюков А. Д. Модель угроз безопасности и киберустойчивости облачных платформ КИИ РФ // Защита информации. Инсайд. 2024. № 5 (119). С. 26–34.
2. Марков А. С. Важная веха в безопасности открытого программного обеспечения // Вопросы кибербезопасности. 2023. № 1 (53). С. 2–12. DOI: 10.21681/2311-3456-2023-1-2-12.
3. Балябин, А. А. Модель облачной платформы КИИ РФ с кибериммунитетом в условиях информационно-технических воздействий // Защита информации. Инсайд. 2024. № 5 (119). С. 35–44.
4. Verma A. et al. Blockchain for Industry 5.0: Vision, Opportunities, Key Enablers, and Future Directions // IEEE Access. 2022. Vol. 10. Pp. 69160–69199. DOI: 10.1109/ACCESS.2022.3186892.
5. Zou W. et al., Smart Contract Development: Challenges and Opportunities // IEEE Transactions on Software Engineering. 2021. Vol. 47. No. 10. Pp. 2084–2106. DOI: 10.1109/TSE.2019.2942301.
6. Ali M. S., Vecchio M., Pincheira M., Dolui K., Antonelli F., Rehmani M. H. Applications of blockchains in the internet of things: A comprehensive survey // IEEE Communications Surveys & Tutorials. 2019. Vol. 21. No. 2. Pp. 1676–1717. DOI: 10.1109/COMST.2018.2886932.
7. Vladucu M. -V., Dong Z., Medina J., Rojas-Cessa R. E-Voting Meets Blockchain: A Survey // IEEE Access. 2023. Vol. 11. Pp. 23293–23308. DOI: 10.1109/ACCESS.2023.3253682.
8. Petrenko S., Khismatullina E. Cyber-resilience concept for Industry 4.0 digital platforms in the face of growing cybersecurity threats // Software Technology: Methods and Tools, 51st International Conference, TOOLS 2019, Innopolis, Russia, October 15–17, 2019. 420 p. DOI: 10.1007/978-3-030-29852-4.
9. Петренко А. С., Петренко С. А. Оценка квантовой угрозы для современных блокчейн-систем // Информационные системы и технологии в моделировании и управлении: Сборник трудов VII Международной научно-практической конференции, Ялта, 24–25 мая 2023 года. 2023. С. 171–173.
10. Петренко А. С., Ломако А. Г., Петренко С. А. Анализ современного состояния исследований проблемы квантовой устойчивости блокчейна. Часть 1 // Защита информации. Инсайд. 2023. № 3 (111). С. 38–46.
11. Петренко А. С., Петренко С. А., Костюков А. Д., Ожиганова М. И. Модель квантовых угроз безопасности для современных блокчейн-платформ // Защита информации. Инсайд. 2022. № 3 (105). С. 10–20.
12. Петренко А. С., Петренко С. А. Метод оценивания квантовой устойчивости блокчейн-платформ // Вопросы кибербезопасности. 2022. № 3 (49). С. 2–22. DOI 10.21681/2311-3456-2022-3-2-22.
13. Lashkari B., Musilek P. A Comprehensive Review of Blockchain Consensus Mechanisms // IEEE Access. 2021. Vol. 9. Pp. 43620–43652. DOI: 10.1109/ACCESS.2021.3065880.
14. Xie J., Tang H., Huang T., Yu F., Xie R., Liu J., Liu Y. A survey of blockchain technology applied to smart cities: Research issues and challenges // IEEE Communications Surveys & Tutorials. 2019. Vol. 21. No. 3. Pp. 2794–2830. DOI: 10.1109/COMST.2019.2899617.
15. Shahriar M. A. et al. Modelling Attacks in Blockchain Systems using Petri Nets // 2020 IEEE 19th International Conference on Trust, Security and Privacy in Computing and Communications (TrustCom), Guangzhou, China. 2020. Pp. 1069–1078. DOI: 10.1109/TrustCom50675.2020.00142.
16. Younis M. M., Salim Jamil A., Abdulrazzaq A. H., Ahmed Mawla N., Khudhair R. M., Vasiliu Y. Progress and Challenges in Quantum Computing Algorithms for NP-Hard Problems // 2024 36th Conference of Open Innovations Association (FRUCT), Lappeenranta, Finland. 2024. Pp. 460–468. DOI: 10.23919/FRUCT64283.2024.10749878.
17. Молдовян А. А., Молдовян Н. А. Новые формы скрытой задачи дискретного логарифмирования // Труды СПИИРАН 2019. Т. 2, № 18. С. 504–529. DOI: 10.15622/sp.18.2.504-529.
18. Savo G. Glisic; Beatriz Lorenzo. Quantum Search Algorithms // Artificial Intelligence and Quantum Computing for Advanced Wireless Networks, Wiley. 2022. Pp. 499–542. DOI: 10.1002/9781119790327.ch11.
19. Петренко А. С., Романченко А. М. Перспективный метод криптоанализа на основе алгоритма Шора // Защита информации. Инсайд. 2020. № 2 (92). С. 17–23.
20. Petrenko A., Petrenko S. Basic Algorithms Quantum Cryptanalysis // Voprosy Kiberbezopasnosti. 2023. No. 1 (53). Pp. 100–115. DOI 10.21681/2311-3456-2023-1-100-115.
21. Borges F., Reis P. R., Pereira D. A Comparison of Security and its Performance for Key Agreements in Post-Quantum Cryptography // IEEE Access. 2020. Vol. 8. Pp. 142413–142422. DOI: 10.1109/ACCESS.2020.3013250.
22. Kearney J. J., Perez-Delgado C. A. Vulnerability of blockchain technologies to quantum attacks // Array. 2021. Vol. 10. P. 100065. DOI: 10.1016/j.array.2021.100065.
23. Kushwaha S. S., Joshi S., Singh D., Kaur M. Lee H. -N. Systematic Review of Security Vulnerabilities in Ethereum Blockchain Smart Contract // IEEE Access. 2022. Vol. 10. Pp. 6605–6621. DOI: 10.1109/ACCESS.2021.3140091.
24. Sayeed S., Marco-Gisbert H. Assessing blockchain consensus and security mechanisms against the 51 % attack // Applied Sciences. 2019. Vol. 9. No. 9. P. 1788. DOI: 10.3390/app9091788.
25. Fernandez-Carames T. M., Fraga-Lamas P. Towards post-quantum blockchain: A review on blockchain cryptography resistant to quantum computing attacks // IEEE Access. 2020. Vol. 8. Pp. 21091–21116. DOI: 10.1109/ACCESS.2020.2968985.
26. Mollajafari S.; Bechkoim K. Blockchain Technology and Related Security Risks: Towards a Seven-Layer Perspective and Taxonomy // Sustainability 2023. Vol. 15 (18). 13401. DOI: 10.3390/su151813401.
27. Al-Shaer R., Spring J. M., Christou E. Learning the Associations of MITRE ATT&CK Adversarial Techniques // 2020 IEEE Conference on Communications and Network Security (CNS), Avignon, France. 2020. Pp. 1–9. DOI: 10.1109/CNS48642.2020.9162207.

# A MODEL OF QUANTUM THREATS TO INFORMATION SECURITY FOR NATIONAL BLOCKCHAIN ECOSYSTEMS AND PLATFORMS

Petrenko S. A.<sup>3</sup>, Balyabin A. A.<sup>4</sup>

**Keywords:** threats to information security, quantum threats to security, blockchain ecosystems and platforms, cybersecurity, cyber resilience, methods of analysis and synthesis of quantum-resistant blockchain.

**The purpose of the research:** development of a mathematical model of quantum threats to information security based on Petri nets for national blockchain ecosystems and platforms of the «Data Economy» of the Russian Federation.

**The method of the research:** methods of system analysis, methods of Petri net theory, methods of probability theory and mathematical statistics, methods of the theory of stability of complex systems.

**The result of the research:** a mathematical model of quantum threats to security based on Petri nets is presented and substantiated, which made it possible to set a metric and measure of ensuring cyber resilience for a typical national blockchain system in the face of new cyber attacks by intruders using a quantum computer.

## References

1. Balyabin A. A., Petrenko S. A., Kostyukov A. D. Model' ugroz bezopasnosti i kiberustoychivosti oblachnykh platform KII RF // Zashchita informatsii. Insayd. 2024. № 5 (119). Pp. 26–34.
2. Markov A. S. Vazhnaya vekha v bezopasnosti otkrytogo programmnoogo obespecheniya // Voprosy kiberbezopasnosti. 2023. № 1 (53). Pp. 2–12. DOI: 10.21681/2311-3456-2023-1-2-12.
3. Balyabin A. A. Model' oblachnoy platformy KII RF s kiberimmunitetom v usloviyakh informatsionno-tekhnicheskikh vozdeystviy // Zashchita informatsii. Insayd. 2024. № 5 (119). Pp. 35–44.
4. Verma A. et al. Blockchain for Industry 5.0: Vision, Opportunities, Key Enablers, and Future Directions // IEEE Access. 2022. Vol. 10. Pp. 69160–69199. DOI: 10.1109/ACCESS.2022.3186892.
5. Zou W. et al., Smart Contract Development: Challenges and Opportunities // IEEE Transactions on Software Engineering. 2021. Vol. 47. No. 10. Pp. 2084–2106. DOI: 10.1109/TSE.2019.2942301.
6. Ali M. S., Vecchio M., Pincheira M., Dolui K., Antonelli F., Rehmani M. H. Applications of blockchains in the internet of things: A comprehensive survey // IEEE Communications Surveys & Tutorials. 2019. Vol. 21. No. 2. Pp. 1676–1717. DOI: 10.1109/COMST.2018.2886932.
7. Vladucu M. -V., Dong Z., Medina J., Rojas-Cessa R. E-Voting Meets Blockchain: A Survey // IEEE Access. 2023. Vol. 11. Pp. 23293–23308. DOI: 10.1109/ACCESS.2023.3253682.
8. Petrenko S., Khismatullina E. Cyber-resilience concept for Industry 4.0 digital platforms in the face of growing cybersecurity threats // Software Technology: Methods and Tools, 51st International Conference, TOOLS 2019, Innopolis, Russia, October 15–17, 2019. 420 p. DOI: 10.1007/978-3-030-29852-4.
9. Petrenko A. S., Petrenko S. A. Otsenka kvantovoy ugrozy dlya sovremennykh blokcheyn-sistem // Informatsionnye sistemy i tekhnologii v modelirovani i upravlenii : Sbornik trudov VII Mezhdunarodnoy nauchno-prakticheskoy konferentsii, Yalta, May 24–25, 2023. Pp. 171–173.
10. Petrenko A. S., Lomako A. G., Petrenko S. A. Analiz sovremennogo sostoyaniya issledovaniy problemy kvantovoy ustoychivosti blokcheyna. Chast' 1 // Zashchita informatsii. Insayd. 2023. № 3 (111). Pp. 38–46.
11. Petrenko A. S., Petrenko S. A., Kostyukov A. D., Ozhiganova M. I. Model' kvantovykh ugroz bezopasnosti dlya sovremennykh blokcheyn-platform // Zashchita informatsii. Insayd. 2022. № 3 (105). Pp. 10–20.
12. Petrenko A. S., Petrenko S. A. Metod otsenivaniya kvantovoy ustoychivosti blokcheyn-platform // Voprosy kiberbezopasnosti. 2022. № 3 (49). Pp. 2–22. DOI 10.21681/2311-3456-2022-3-2-22.
13. Lashkari B., Musilek P. A Comprehensive Review of Blockchain Consensus Mechanisms // IEEE Access. 2021. Vol. 9. Pp. 43620–43652. DOI: 10.1109/ACCESS.2021.3065880.
14. Xie J., Tang H., Huang T., Yu F., Xie R., Liu J., Liu Y. A survey of blockchain technology applied to smart cities: Research issues and challenges // IEEE Communications Surveys & Tutorials. 2019. Vol. 21. No. 3. Pp. 2794–2830. DOI: 10.1109/COMST.2019.2899617.
15. Shahriar M. A. et al. Modelling Attacks in Blockchain Systems using Petri Nets // 2020 IEEE 19th International Conference on Trust, Security and Privacy in Computing and Communications (TrustCom), Guangzhou, China. 2020. Pp. 1069–1078. DOI: 10.1109/TrustCom50675.2020.00142.
16. Younis M. M., Salim Jamil A., Abdulrazzaq A. H., Ahmed Mawla N., Khudhair R. M., Vasiliu Y. Progress and Challenges in Quantum Computing Algorithms for NP-Hard Problems // 2024 36th Conference of Open Innovations Association (FRUCT), Lappeenranta, Finland. 2024. Pp. 460–468. DOI: 10.23919/FRUCT64283.2024.10749878.
17. Moldovyan A. A., Moldovyan N. A. Novye formy skrytoy zadachi diskretnogo logarifmirovaniya // Trudy SPIIRAN 2019. No.5. Vol. 18. Pp. 504–529. DOI: 10.15622/sp.18.2.504-529.

3 Sergei Petrenko, Dr.Sc. (in Tech.) (Grand Doctor, Full Professor), Scientific Center for Information Technologies and Artificial Intelligence, Sirius University of Science and Technology, Sirius Federal Territory, Orcid.org/0000-0003-0644-1731, E-mail: Petrenko.SA@talantiuspeh.ru

4 Artyom Balyabin, Junior Researcher, Scientific Center for Information Technologies and Artificial Intelligence, Sirius University of Science and Technology, Sirius Federal Territory, E-mail: Balyabino.AA@talantiuspeh.ru

18. Savo G. Glisic; Beatriz Lorenzo. *Quantum Search Algorithms // Artificial Intelligence and Quantum Computing for Advanced Wireless Networks*, Wiley. 2022. Pp. 499–542. DOI: 10.1002/9781119790327.ch11.
19. Petrenko A. S., Romanchenko A. M. *Perspektivnyy metod kriptanaliza na osnove algoritma Shora // Zashchita informatsii. Insayd.* 2020. № 2 (92). Pp. 17–23.
20. Petrenko A., Petrenko S. *Basic Algorithms Quantum Cryptanalysis // Voprosy Kiberbezopasnosti.* 2023. No. 1 (53). Pp. 100–115. DOI 10.21681/2311-3456-2023-1-100-115.
21. Borges F., Reis P. R., Pereira D. *A Comparison of Security and its Performance for Key Agreements in Post-Quantum Cryptography // IEEE Access.* 2020. Vol. 8. Pp. 142413–142422. DOI: 10.1109/ACCESS.2020.3013250.
22. Kearney J. J., Perez-Delgado C. A. *Vulnerability of blockchain technologies to quantum attacks // Array.* 2021. Vol. 10. P. 100065. DOI: 10.1016/j.array.2021.100065.
23. Kushwaha S. S., Joshi S., Singh D., Kaur M. Lee H. -N. *Systematic Review of Security Vulnerabilities in Ethereum Blockchain Smart Contract // IEEE Access.* 2022. Vol. 10. Pp. 6605–6621. DOI: 10.1109/ACCESS.2021.3140091.
24. Sayeed S., Marco-Gisbert H. *Assessing blockchain consensus and security mechanisms against the 51 % attack // Applied Sciences.* 2019. Vol. 9. No. 9. P. 1788. DOI: 10.3390/app9091788.
25. Fernandez-Carames T. M., Fraga-Lamas P. *Towards post-quantum blockchain: A review on blockchain cryptography resistant to quantum computing attacks // IEEE Access.* 2020. Vol. 8. Pp. 21091–21116. DOI: 10.1109/ACCESS.2020.2968985.
26. Mollajafari S.; Bechkoum K. *Blockchain Technology and Related Security Risks: Towards a Seven-Layer Perspective and Taxonomy // Sustainability* 2023. Vol. 15 (18). 13401. DOI: 10.3390/su151813401.
27. Al-Shaer R., Spring J. M., Christou E. *Learning the Associations of MITRE ATT&CK Adversarial Techniques // 2020 IEEE Conference on Communications and Network Security (CNS), Avignon, France.* 2020. Pp. 1–9. DOI: 10.1109/CNS48642.2020.9162207.

